

VLIV PŘENOSU KYSLÍKU A HYDRODYNAMIKY NA OXIDACI FENOLU VE ZKRÁPĚNÉM REAKTORU

VRATISLAV TUKAČ, JIŘÍ VOKÁL a JIŘÍ HANIKA

*Ústav organické technologie, Vysoká škola chemicko-technologická v Praze, Technická 5, 166 28 Praha
e-mail: vratislav.tukac@vscht.cz*

Věnováno prof. Ing. Josefů Paškovi, DrSc. k 70. narozeninám

Došlo dne 10.I.2000

Klíčová slova: fenolové odpadní vody, katalytická mokrá oxidace, zkrápěný reaktor, omezení přenosem hmoty, katalyzátory CuO/silikát a aktivní uhlí

Úvod

Likvidaci toxických, nebo baktericidních organických nečistot ve zředěných vodních roztocích lze s výhodou provádět tzv. mokrou oxidací. Tato oxidace vzduchem, nebo kyslíkem se uplatňuje zejména u odpadních vod z farmaceutických a barvářských výrob¹. Produktem procesu při teplotách 125–320 °C a tlacích 0,5–20 MPa jsou biologicky odbouratelné látky, většinou nižší organické kyseliny, nebo až CO₂ a H₂O.

Výhodou procesu je, že z fenolických látek nevznikají dioxiny jako při spalování, nebo tzv. superkritické oxidaci², nevýhodou je však energetická náročnost a korozivní prostředí.

Modifikací postupu využitím homogenní, nebo heterogenní katalýzy^{3,4} lze dosáhnout zmírnění reakčních podmínek, dalšímu požadavku na zvýšení kapacity procesu lze vyhovět využitím kontinuálního reaktoru. Pro oxidaci roztoků polutanů, jejíž rychlosť je často limitována rozpouštěním kyslíku a jeho transportem na povrch katalyzátoru⁵, je výhodný zkrápěný reaktor³ vzhledem k dostupnému velkému mezifázovému povrchu katalytické náplně.

Pro stanovení celkové účinnosti a selektivity procesu mokré oxidace ve zkrápěném reaktoru je třeba studovat vzájemné interakce mezi katalytickým působením na mechanismus a rychlosť oxidací, přenosem hmoty a tepla a hydrodynamikou v trojfázovém reakčním systému⁶.

Nejaktivější katalyzátory mokré oxidace obsahující jako aktivní složku měď⁴, jsou však málo stabilní kvůli jejímu rozpouštění v korozivní reakční směsi. Alternativou je použití různých typů aktivního uhlí⁷, které vykazují v suspenzi slabší katalytické účinky, ale nemají nevýhody kovových katalyzátorů. Naopak v třífázovém zkrápěném reaktoru se na extrudovaném aktivním uhlí dosahuje větších výkonů^{5,8}.

Rychlosť proudění kapalné fáze určuje také účinnost smočení^{9,10} povrchu katalytické náplně a její nízká hodnota pro malé objemové rychlosti může zcela kompenzovat odpovídající dlouhou dobu zdržení reakční směsi v loži, při malých rychlostech je pomalý i transport kyslíku. Průtok kapaliny může být navíc značně zmenšen vypařením kapalné fáze do proudu plynu. Pro reaktory s poměrem průměru k velikosti částic náplně větším než 20, což přibližně platí v případě

ředění katalytického lože 1 mm skleněnými kuličkami, nemá stěnový tok a nerovnoměrná distribuce kapaliny významný vliv na výkon reaktoru¹¹. Je-li však klíčový reaktant přítomen v plynné fázi, pak jeho transport může být rychlosť určujícím krokem^{5,12} a celková rychlosť oxidace může být v dokonale smočeném zředěném katalytickém loži menší, než v případě klasického lože s nerovnoměrným smočením částic katalyzátoru.

Cílem práce bylo stanovit vliv teploty a rychlosti proudění kapalné fáze na konverzi a rychlosť katalytické mokré oxidace fenolu. Byla porovnána aktivační měděný oxidového nosičového katalyzátoru a extrudátu aktivního uhlí jako katalytické náplně, u níž nedochází k rozpouštění aktivních složek, zejména těžkých kovů v reakční směsi. Současně byla sledována interakce mezi kinetikou oxidace a hydrodynamicky závislou účinností smočení povrchu katalyzátoru a rychlosť transportu kyslíku v loži kontinuálního zkrápěného reaktoru.

Experimentální část

Všechny chemikálie byly analytické p.a. čistoty: fenol (Reactivul Bukurešť), methanol (Penta Praha), destilovaná voda (VŠCHT Praha), kyslík (Linde-Technoplyn Praha). Jako oxidační katalyzátory byly použity a) rovnostranné tablety 4,6 mm, 33% CuO na silikátovém nosiči (Cherox 46-00, Chemopetrol Litvínov), porozita 45 %, měrný povrch 200 m².g⁻¹, synpná hustota 700 g.l⁻¹ a b) extrudované aktivní uhlí (Chemviron Carbon WS4 AWD, Chemviron Carbon GmbH, Německo), rozměr 3,6×7,6 mm, měrný povrch 1049 m².g⁻¹, hustota (Hg) 650 g.l⁻¹, synpná hustota 435 g.l⁻¹, porozita 1,1 ml.g⁻¹.

Proces byl studován v laboratorním zkrápěném reaktoru, který byl tvořen nerezovou trubkou o vnitřním průměru 17,9 mm a délce 540 mm, opatřenou osově umístěnou termočlánkovou sondou o průměru 3,2 mm. Otápění reaktoru bylo realizováno elektronicky řízenou elektrickou pecí. Výška lože katalyzátoru činila od 50 do 200 mm, nad a pod ložem byla nasypána vrstva skleněných kuliček o průměru 3 mm. Pro zlepšení smočení povrchu částic katalyzátoru a eliminaci stěnového toku v reaktoru byla testována také loža katalyzátoru s volným prostorem mezi částicemi vyplněným drobnými 1 mm skleněnými kuličkami. Kyslík byl mísen s nastřikovanou kapalinou na výstupu z přede hřívce kapaliny, za reaktorem byl oddělen v tlakovém separátoru fází a kapalina byla periodicky odpouštěna. Experimentální podmínky se pohybovaly v rozmezí teplot 130–170 °C, nástřiků kapaliny 25–800 ml.h⁻¹, při celkových tlacích 2–7 MPa a konstantním odplynu 400 ml.min⁻¹. Koncentrace fenolu v nastřikované vodě činila 0,5 %, náplň katalyzátoru se pohybovala v rozmezí 1–11,7 g.

Reakční směs byla analyzována HPLC chromatografií s UV detektorem při 254 nm, s průtokem 0,3 ml.min⁻¹ mobilní fáze methanol–voda (2:3) a stacionární fází Tessek (150+150)×3 mm, Separon SGX C 18 se zrněním 7 µm.

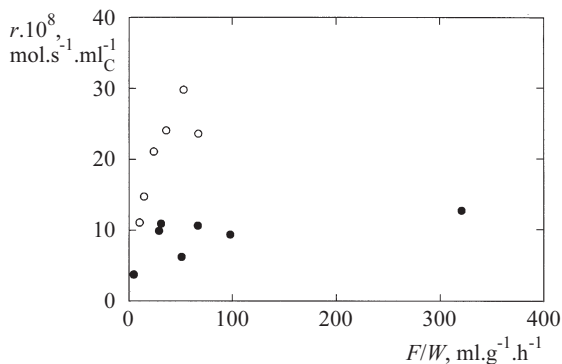
Výsledky a diskuse

Sledovanými klíčovými faktory, významnými pro využití experimentálních dat ze zkrápěného reaktoru a jejich zobecnění, jsou vedle stálosti aktivity a stability katalyzátoru,

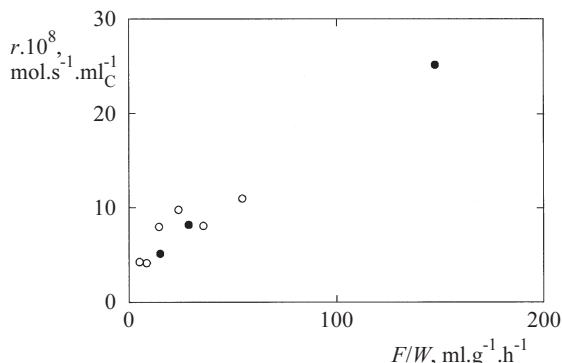
kvantifikace vlivu transportu hmoty, tepla a účinnosti smočení povrchu katalyzátoru na celkovou rychlosť reakcie a stanovení klíčového reaktantu a jeho přítomnosti v plynné nebo kapalné fázi.

Typické neideální chování zkrápěného reaktoru je zřejmé z obr. 1. Při konstantním nástřiku kapaliny a rostoucím množstvím katalyzátoru je rychlosť reakce v širokém rozmezí hodnot podílu F/W téměř nezávislá na množství katalyzátoru, protože účinnost smočení povrchu katalyzátoru je vzhledem ke konstantní rychlosti proudění také téměř konstantní, kdežto v případě rostoucího nástřiku a konstantního množství katalyzátoru, také roste střední reakční rychlosť díky lepší účinnosti smočení a rychlejšímu transportu kyslíku až do okamžiku, kdy nárůst zádrže kapaliny v loži začne představovat významný odpor přenosu hmoty.

Aby bylo možné eliminovat vliv nedokonalého smočení povrchu katalyzátoru a případné nerovnoměrné distribuce kapaliny byly provedeny experimenty s katalytickým ložem, kde mezery mezi částicemi katalyzátoru byly vyplňeny 1 mm skleněnými kuličkami, které způsobují nárůst zádrže kapaliny a zajistí úplné smočení povrchu částic a rovnoměrné rozdělení reakční směsi na průřezu reaktoru. Na obr. 2 je ukázáno, že u katalytického loží zředěných skleněnými kuličkami jsou ex-



Obr. 1. Závislost rychlosti oxidace fenolu pro volně nasypané loží s konstantním množstvím katalyzátoru W (○) a pro loží s proměnným množstvím katalyzátoru (aktivní uhlí) o konstantním nástřiku (●) na souřadnici F/W při teplotě 165 °C



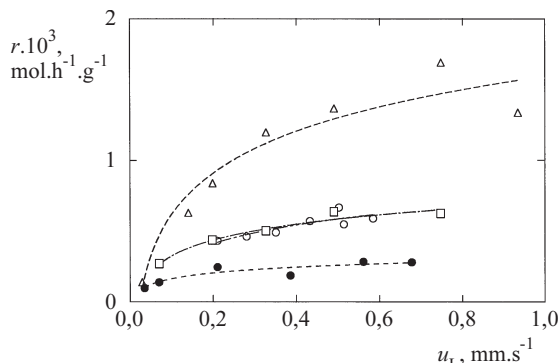
Obr. 2. Závislost rychlosti oxidace fenolu na souřadnici F/W pro loží zředěné kuličkami s konstantním množstvím katalyzátoru (aktivní uhlí) W (○) a proměnným nástřikem a pro loží s proměnným množstvím katalyzátoru o konstantním nástřiku (●) na souřadnici F/W při teplotě 150 °C

perimentální závislosti pro proměnné hodnoty nástřiku a množství katalyzátoru totožné a že ředění loží jemnými kuličkami eliminuje nedokonalé smočení a nerovnoměrnou distribuci kapaliny.

Závislost experimentálně stanovených rychlosťí oxidace fenolu na mimovrstvové rychlosti proudění kapalné reakční směsi pro nosičový měděný katalyzátor a pro aktivní uhlí jsou uvedeny na obr. 3. Jsou zde také porovnána volně sypaná loží a loží katalyzátoru zředěná kuličkami. Ze srovnání plyne několik závěrů: Celková rychlosť oxidace fenolu závisí na rychlosti proudění kapaliny. To znamená, že pro loží zředěné kuličkami, kde je eliminováno nedokonalé smočení a distribuce kapaliny, závisí rychlosť oxidace na rychlosti přenosu klíčového reaktantu na aktivní povrch katalyzátoru. Dále, loží zředěná kuličkami vykazují nižší střední rychlosť proti srovnatelným hodnotám stanoveným u volně nasypaného katalyzátoru, kde lze předpokládat nedokonalé smočení jeho povrchu.

Klíčový reaktant je tedy přítomen v plynné fázi (kyslík) a rychlosť jeho transportu je souměřitelná s rychlosťí povrchové oxidace a může tedy limitovat celkovou rychlosť reakce a tedy výkon reaktoru. Transport kyslíku u nedokonale smočeného katalyzátoru může rychleji probíhat přímo přes nesmočený povrch, kde transport nebrání povrchový film kapaliny. Konečně, nosičový měděný katalyzátor, který vykazoval vyšší oxidační aktivitu ve stavu suspenze proti práškovému aktivnímu uhlí, vykazuje ve zkrápěném systému mnohem nižší aktivitu proti extrudovanému aktivnímu uhlí, což může být zapříčiněno nižší porozitou a měrným povrchem jeho tablet. Výhodami extrudátů aktivního uhlí jako katalytické náplně oxidačního zkrápěného reaktoru jsou navíc dostatečný geometrický hydrofilní povrch pro mezifázový přestup hmoty, velký vnitřní aktivní povrch a sorbční mohutnost a eliminace problémů s poklesem aktivity rozpuštěním katalyticky aktivních složek klasických nosičových katalyzátorů, např. měděných, v kyselém reakčním prostředí.

Mokrá oxidace vodného roztoku organického polutanu zahrnuje dva následné kroky, přenos kyslíku z plynné fáze do kapalné, jeho rozpuštění a transport na povrch katalyzátoru a následně povrchovou chemickou reakci mezi rozpuštěným kyslíkem a organickou látkou. Koncentrace kyslíku v kapalině je dána transportními jevy přes mezifázová rozhraní, ovliv-



Obr. 3. Střední rychlosť oxidace fenolu r vs. mimovrstvová rychlosť kapaliny u_L ; teplota 168 °C, (○) volně sypané loží a (●) loží CuO/silikát zředěné kuličkami, (Δ) volně sypané loží a (□) loží aktivního uhlí zředěné kuličkami, průtok kyslíku 38 l.h⁻¹ a celkový tlak 5 MPa

něně účinností smočení náplně, a současně teplotně závislou rozpustností plynu ve vodě.

Lokální rychlosť oxidace za ideálních podmínek bez vlivu transportu kyslíku lze vyjádřit rovnicí (1), kde η_c představuje míru smočení povrchu katalyzátoru, často vyjadřovanou¹⁰ rovnicí (2):

$$-\frac{dC_{Ph}}{d(W/F)} = \eta_c k C_{Ph} P_{O_2}^n \quad (1)$$

$$\eta_c = 1,617 Re^{0,146} Ga^{-0,0711} \quad (2)$$

Rychlosť oxidace fenolu (r) závisí na účinnosti smočení katalyzátoru (η_c), teplotně závislé rychlostní konstantě (k) a podílu hmotnosti katalyzátoru (W) ku objemovému nástríku (F), (C_{Ph}) je koncentrace rozpuštěného fenolu a $(P_{O_2}^n)$ je parciální tlak kyslíku umocněný na řadu rovný 0,5 a (Re) je Reynoldsovo a (Ga) Galileovo kriterium.

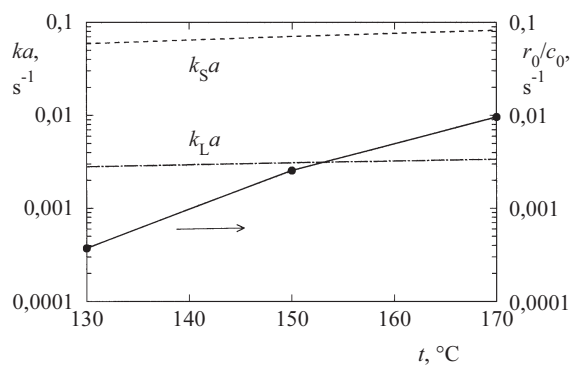
Aby bylo možné rozlišit mezi podmínkami, kdy je celková rychlosť oxidace limitována buď transportem reaktantu, zde kyslíku, z plynnej fáze na povrch katalyzátoru, nebo pouze reaktantem rozpuštěným v kapalné fázi a tedy smočeným povrchem katalyzátoru kapalinou, bylo na obr. 4 provedeno srovnání mezi experimentální celkovou rychlosť oxidace vztahem na rovnovážnou koncentraci rozpuštěného kyslíku a koeficienty přenosu hmoty vypočtenými z obvyklých (Goto a Smith¹⁴) korelačních vztahů.

Objemový koeficient plyn–kapalina byl vypočten z rovnice (3):

$$\frac{k_L a}{D} = 1,9 \left(\frac{G_L}{\mu} \right)^{0,41} \left(\frac{\mu}{\rho D} \right)^{1/3} \quad (3)$$

Objemový koeficient kapalina–katalyzátor byl spočten podle vztahu (4):

$$\frac{k_S a_S}{D} = 45 \left(\frac{G_L}{\mu} \right)^{0,56} \left(\frac{\mu}{\rho D} \right)^{1/3} \quad (4)$$



Obr. 4. Porovnání teplotní závislosti koeficientů transportu kyslíku $k_L a$ a $k_S a$ se střední redukovanou rychlosťí oxidace fenolu r_0/c_0 ; nástrík 200 ml.h^{-1} , volně sypané lože CuO/silikát, (— · —) objemový koeficient transportu plyn–kapalina, (— · —) objemový koeficient transportu kapalina–katalyzátor, (●) redukovaná rychlosť oxidace

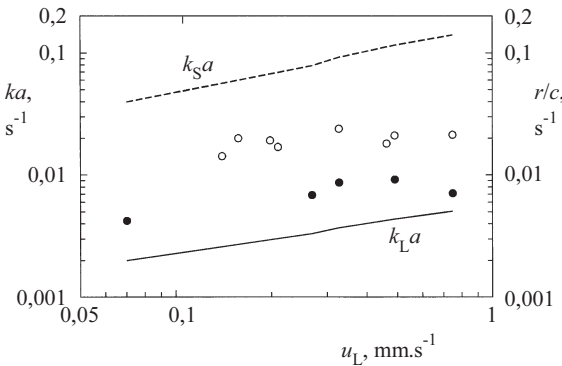
(k_L resp. k_S) představují transportní koeficienty kyslíku, (a_S) mezifázová plocha, (D) difuzivita kyslíku ve vodě, (G_L) mimovrstvová rychlosť kapaliny, (μ) viskozita a (ρ) hustota vody.

Z teplotních závislostí koeficientů přenosu hmoty a redukované rychlosti oxidace plyne, že při nižší teplotě je rychlosť oxidace nižší než jsou koeficienty přestupu a celková rychlosť oxidace je řízena povrchovou reakcí, při vyšší teplotě nebo při použití aktivnějšího katalyzátoru je celková rychlosť procesu určena rychlosťí transportu kyslíku z plynnej fáze na povrch katalyzátoru.

Ze závislostí prezentovaných na obr. 5, vypočtených koeficientů sdílení kyslíku mezi fázemi a jejich porovnání s hodnotami redukované celkové rychlosti oxidace spočtené ze změn chemické spotřeby kyslíku (CHSK) pro volně sypané lože aktivního uhlí a lože zreděné jemnými kuličkami plyne, že v případě zreděného lože katalyzátoru se hodnoty rychlostí blíží křivec odpovídající transportu mezi plynou a kapalnou fází, tj., celková rychlosť oxidace je limitována transportem plynnejho reaktantu, kdežto pro volně sypané lože vyšší hodnoty redukovaných rychlostí ukazují že celková rychlosť oxidace není limitována transportem kyslíku přes fázové rozhraní plyn–kapalina.

Závěr

Celková rychlosť oxidace fenolu v trojfázovém zkrápěném reaktoru závisí na rychlosti proudění kapaliny, za což jsou odpovědné jak nedokonalé smočení povrchu katalyzátoru a distribuce kapaliny na průřezu lože, tak současně rychlosť přenosu klíčového reaktantu na aktivní povrch katalyzátoru. Protože lože zreděné kuličkami, které je dokonale smočené, vykazují nižší střední rychlosť, oproti srovnatelným hodnotám stanoveným u volně nasypaného katalyzátoru, lze předpokládat, že klíčový reaktant je přítomen v plynnej fázi (kyslík) a rychlosť jeho transportu je souměřitelná s rychlosťí povrchové oxidace a může limitovat celkovou rychlosť reakce a tedy výkon reaktoru. Naproti tomu transport kyslíku u nedokonale smočeného katalyzátoru může probíhat rychleji přímo přes nesmočený povrch, kde transportu nebrání povrchový film kapaliny. Konečně, nosičový měděný katalyzátor ve zkráp-



Obr. 5. Porovnání závislostí koeficientů sdílení kyslíku a redukované rychlosti oxidace (založené na CHSK) na mimovrstvové rychlosti proudění (u_L) kapalné reakční směsi; teplota $170 ^{\circ}\text{C}$, (○) volně sypané lože a (●) lože aktivního uhlí zreděné kuličkami, průtok kyslíku 38 l.h^{-1} a celkový tlak 5 MPa

ném systému vykazuje mnohem nižší aktivitu proti extrudovanému aktivnímu uhlí, což může být zapříčiněno nižší porozitou a měrným povrchem jeho tablet. Z teplotních závislostí koeficientů přenosu hmoty a redukováné rychlosť oxidace plyne, že při nižší teplotě je stanovená rychlosť oxidace nižší než jsou vypočtené koeficienty přestupu a celková rychlosť oxidace je tedy řízena povrchovou reakcí, při vyšší teplotě nebo při použití aktivnějšího katalyzátoru je celková rychlosť procesu určena rychlosť transportu kyslíku z plynné fáze na povrch katalyzátoru. Pro dokonalejší využití katalytické náplň a současně dosažení vysoké rychlosť transportu kyslíku by bylo vhodné a nadějně zaměřit další pozornost na studium mokré oxidace za podmínek režimu pulzního toku fází, kdy dochází k periodickému obnovování smočeného povrchu katalyzátoru.

Autoři děkují Grantové agentuře ČR za podporu v rámci grantu 104/99/1479.

S y m b o l y

| | |
|----------------------------------|--|
| <i>a</i> | efektivní mezifázová plocha, m^{-1} |
| <i>C</i> | konzentrace, $\text{mol} \cdot \text{dm}^{-3}$ |
| <i>D</i> | difuzivita kyslíku ve vodě, $\text{m}^2 \cdot \text{s}^{-1}$ |
| <i>F</i> | objemový nástřík kapaliny, $\text{ml} \cdot \text{h}^{-1}$ |
| <i>G_L</i> | mimovrstvová rychlosť kapaliny, $\text{kg} \cdot \text{m}^{-2} \cdot \text{s}^{-1}$ |
| <i>Ga</i> | Galileovo kriterium |
| CHSK | chemická spotřeba kyslíku, $\text{mg} \cdot \text{l}^{-1}$ |
| <i>k</i> | rychlostní konstanta reakce, $\text{g}^{-1} \cdot \text{h}^{-1} \cdot \text{MPa}^{-n}$ |
| <i>k_L</i> | objemový koeficient přenosu hmoty plyn–kapalina, $\text{m} \cdot \text{s}^{-1}$ |
| <i>k_S</i> | objemový koeficient přenosu hmoty kapalina–katalyzátor, $\text{m} \cdot \text{s}^{-1}$ |
| LHSV | objemová rychlosť kapaliny, h^{-1} |
| <i>n</i> | reakční řád vůči kyslíku |
| <i>P_{O₂}</i> | parciální tlak kyslíku, MPa |
| <i>r</i> | rychlosť reakce, $\text{mol} \cdot \text{g}^{-1} \cdot \text{h}^{-1}$ |
| Re | Reynoldsovo kriterium |
| <i>W</i> | hmotnost katalyzátoru, g |
| <i>x</i> | konverze |
| η_c | účinnost smočení |
| μ | viskozita kapaliny, Pa.s |
| ρ | hustota kapaliny, $\text{kg} \cdot \text{m}^{-3}$ |

I n d e x y

| | |
|----------|-------------|
| <i>L</i> | kapalina |
| <i>S</i> | katalyzátor |
| <i>G</i> | plyn |
| Ph | fenol |
| O | kyslík |

LITERATURA

- Mishra V. S., Mahajani V. V., Joshi J. B.: Ind. Eng. Chem. Res. 34, 2 (1995).
- Krajnc M., Levec J.: AIChE J. 42, 1977 (1996).
- Pintar A., Levec J.: Ind. Eng. Chem. Res. 33, 3070 (1994).
- Tukač V., Hanika J.: Collect. Czech. Chem. Commun. 60, 482 (1995).
- Tukač V., Vokál J.: Hanika J.: Collect. Czech. Chem. Commun. 63, 1938 (1998).
- Tukač V., Hanika J.: Int. Chem. Eng. 29, 177 (1989).
- Tukač V., Hanika J.: Collect. Czech. Chem. Commun. 61, 1010 (1996).
- Fortuny A., Font J., Fabregat A.: Appl. Catal. B, 19, 165 (1998).
- Tukač V., Hanika J.: J. Chem. Technol. Biotechnol. 71, 262 (1998).
- El-Hisnawi A. A., Dudukovic M. P., Mills P. L.: ACS Symp. Ser. 196, 431 (1982).
- Al-Dahhan M. H., Dudukovic M. P.: AIChE J. 42, 2594 (1996).
- Wu Y., Khadilkar M. R., Al-Dahhan M. H., Dudukovic M. P.: Ind. Eng. Chem. Res. 35, 397 (1996).
- Gotto S., Smith J. M.: AIChE J. 21, 706 (1975).

V. Tukač, J. Vokál, and J. Hanika (Institute of Organic Technology, Institute of Chemical Technology, Prague): The Effect of Oxygen Transport and Hydrodynamics on the Phenol Oxidation in a Trickle-Bed Reactor

Hydrodynamics, uniform wetting of the catalyst surface and transport of reaction components show a strong influence on the overall performance of a trickle-bed reactor. The aim of the paper was finding limits for predominant effects of the catalyst wetting, oxygen transport and surface reaction in a catalytic wet oxidation of aqueous solutions of phenol, which is a typical bactericidal pollutant, undesirable in the environment. A three phase high-pressure laboratory tubular reactor 18 mm in diameter with catalyst bed length 200 mm was run at 130–170 °C, pressures 2–7 MPa and space velocity 1–20 h^{-1} . Oxidation activities of two catalyst types, CuO on a silicate carrier (Cherox® 46-00) and extruded active carbon (Chemviron®) were compared. At a comparable loading, active carbon showed a higher catalytic activity. For elimination of the effect of nonuniform distribution of liquid and achieving a perfect wetting of the catalyst surface with liquid, the catalyst beds diluted with 1-mm glass spheres were also tested. However, under conditions, when the resulting oxidation rate is limited by the transport of a key component from the gas phase (oxygen), the uniform wetting of the catalyst surface with the reaction mixture leads to a lower performance of the oxidation reactor due to a lower interphase area caused by a higher liquid hold-up.